

ИЗВЕСТИЯ
НОМСКОГО ОРДENA ТРУДОВОГО КРАСНОГО ЗНАМЕНИ ПОЛИТЕХНИЧЕСКОГО
ИНСТИТУТА имени С. М. КИРОВА

Бум. 119

1963 г.

ЭКСПЕРИМЕНТАЛЬНОЕ ИССЛЕДОВАНИЕ ТЕМПЕРАТУРНОГО
РЕЖИМА ОДНОСЛОЙНЫХ ГЕРМЕТИЗИРОВАННЫХ
МИКРОПРОВОЛОЧНЫХ СОПРОТИВЛЕНИЙ

А. М. КИРИК, А. С. ЛЯЛИКОВ

(Представлено профессором, доктором Г. И. Фуксом)

Герметизированные микропроволочные сопротивления находят все большее применение в аппаратуре, работающей в условиях высокой влажности и в большом интервале температур, в частности, в местах с тропическим климатом, в арктических условиях и на больших высотах.

Наличие данных о тепловом режиме обмотки сопротивления при различных температурных условиях окружающей среды позволяет при проектировании аппаратуры использовать сопротивления, обеспечивающие заданный тепловой режим и, следовательно, определенные служебные качества.

В настоящей работе приводятся результаты экспериментального исследования зависимости максимального перегрева обмоток герметизированных микропроволочных сопротивлений от мощности сопротивления и температуры окружающей среды в условиях естественной конвекции.

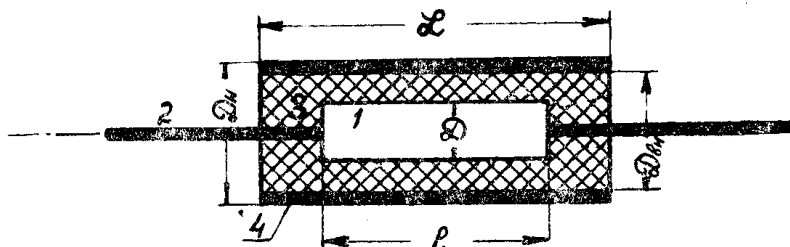


Рис. 1.
1 — сопротивление, 2 — токопроводы, 3 — смола, 4 — керамический корпус.

Исследование проводилось на моделях герметизированных микропроволочных сопротивлений, устройство и размеры которых показаны на рис. 1 и в табл. 1. Отличие моделей от микропроволочных сопротивлений, изготавляемых в соответствии с ВТУ ОПИ 539000, состоит в том, что намотка моделей сопротивлений произведена не микропроволокой, а обмоточным проводом ПЭМС $\varnothing 0,05$ м.м. Поверхности керамических баллонов моделей покрывались электроизолирующим лаком для придания им той же степени черноты, что и у нормализованных сопротивлений.

Схема экспериментальной установки и методика исследования теплового режима герметизированных и негерметизированных сопротивлений [1] аналогична. Отличие состоит в том, что горячий спай термопары в опытах с герметизированными сопротивлениями помещался на обмотке, т. е. под керамической герметизирующей трубкой.

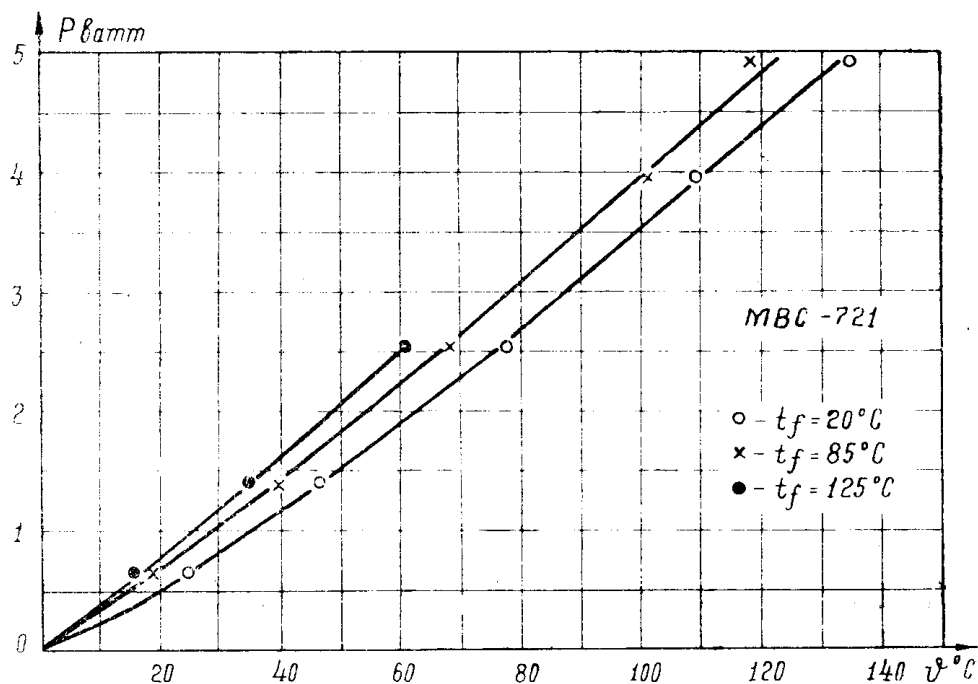


Рис. 2-а.

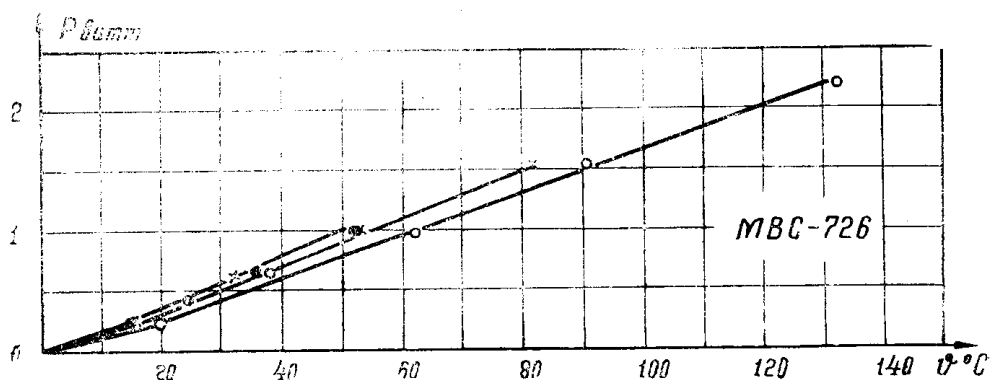


Рис. 2-б.

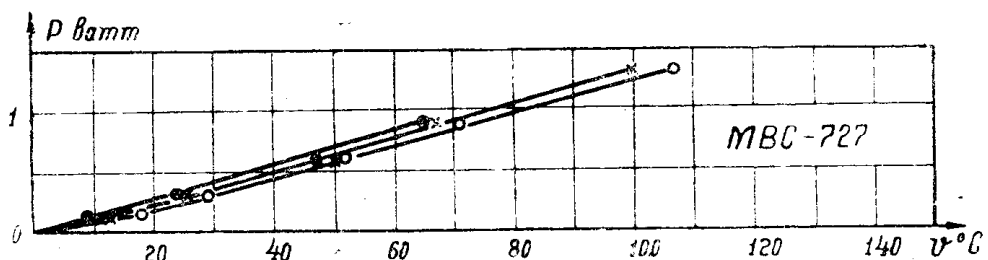


Рис. 2-в.

Таблица 1

Тип сопротивления	$L, \text{мм}$	$l, \text{мм}$	$D_H, \text{мм}$	$D_{BH}, \text{мм}$	$D, \text{мм}$	$R, \text{ом}$
MBC-721	61	46	17	13,5	8,3	2520
MBC-726	24	17	7,5	6,0	4,4	410
MBC-727	25	10	6	5,0	3,2	166

Результаты проведенной работы представлены графиками рис. 2 *a*, *b*, *v*, которые и отражают зависимость максимальных перегревов $\vartheta = t - t_f$ от мощности сопротивления P при различных температурах окружающей среды t_f ($t_f = 20; 85$ и 125°C).

С помощью графиков рис. 2 *a*, *b*, *v* по заданным P и t_f можно определить максимальный перегрев обмотки ϑ (и температуру ее t) для данного типа сопротивления или подобрать сопротивление, обеспечивающее заданный режим работы по P и ϑ в определенных условиях окружающей среды t_f .

Приведенные результаты могут быть рекомендованы для практического использования.

ЛИТЕРАТУРА

А. М. Кирик и А. С. Ляликов. Экспериментальное исследование температурного режима однослойных лакозащищенных негерметизированных микропроволочных сопротивлений. Настоящий сборник.